Лабораторная работа № 2

Плоская задача о нагреве и охлаждении термоупругого тела

Цель работы.

- 1. Изучить основные особенности решения задач нестационарных термоупругости в ANSYS APDL на примере плоской задачи о медленном нагреве и охлаждении тела в форме буквы «R» (программа FE_Mod_CP_2.inp). Определить возможности решения задач с неполной связанностью механических и температурных полей и с пренебрежением динамических слагаемых в уравнениях движения.
- 2. Составить программу на языке APDL ANSYS для индивидуальной нестационарной задачи для двумерного термоупругого тела в условиях плоской деформации.
 - 3. Провести расчеты, проанализировать результаты и оформить отчет.

Описание задачи.

Рассматривается нестационарная задача термоупругости для плоской фигуры в форме латинской буквы «R». Геометрия области, отнесенной к декартовой системе координат Oxy, показана на рис. 1. Размеры тела определяются следующими параметрами: HL=0.14 м (высота); WL=0.08 м (ширина); WWL=0.02 м (ширина стенок); HAL=0.07 м (дополнительный размер по высоте). Криволинейные части фигуры описываются частями эллипсов с параметром эллиптичности PEL=(HAL/2)/(WL-WWL), который задает отношение полуоси эллипса по оси Y к полуоси эллипса по оси X.

Примем, что материалом области является сталь (изотропный материал) с модулем Юнга $E=2\cdot10^{11}$ Н/м², коэффициентом Пуассона $\upsilon=0.29$, плотностью $\rho=7800$ кг/м³, коэффициентом теплопроводности $k=K_{XX}=46.7$ Вт/(м К), коэффициентом температурного расширения $\alpha=1.51\cdot10^{-5}$ 1/К и удельной теплоемкостью $c_{\sigma}=462$ Дж/(кг К), вычисленной при постоянных напряжениях.

Предполагается, что на нижней грани температура θ все время равна 0°С. В начальный момент времени t=0 тело находилось в состоянии покоя. Далее с начального момента до момента времени t=TES1=10 на верхней грани температура линейно возрастала от нуля до 90°С. После этого на верхней грани принимаются условия конвективного теплообмена с коэффициентом теплообмена $h_f=60~{\rm BT/(m^2~K)}$ и температурой окружающей среды $\theta_{ext}=0$ °С. Все остальные границы для всех рассматриваемых времен принимаются теплоизолированными,

т.е. такими, на которых нормальная компонента вектора потока тепла равна нулю: $\mathbf{n} \cdot \mathbf{q} = 0$. Нижняя граница тела все время считается жестко закрепленной.

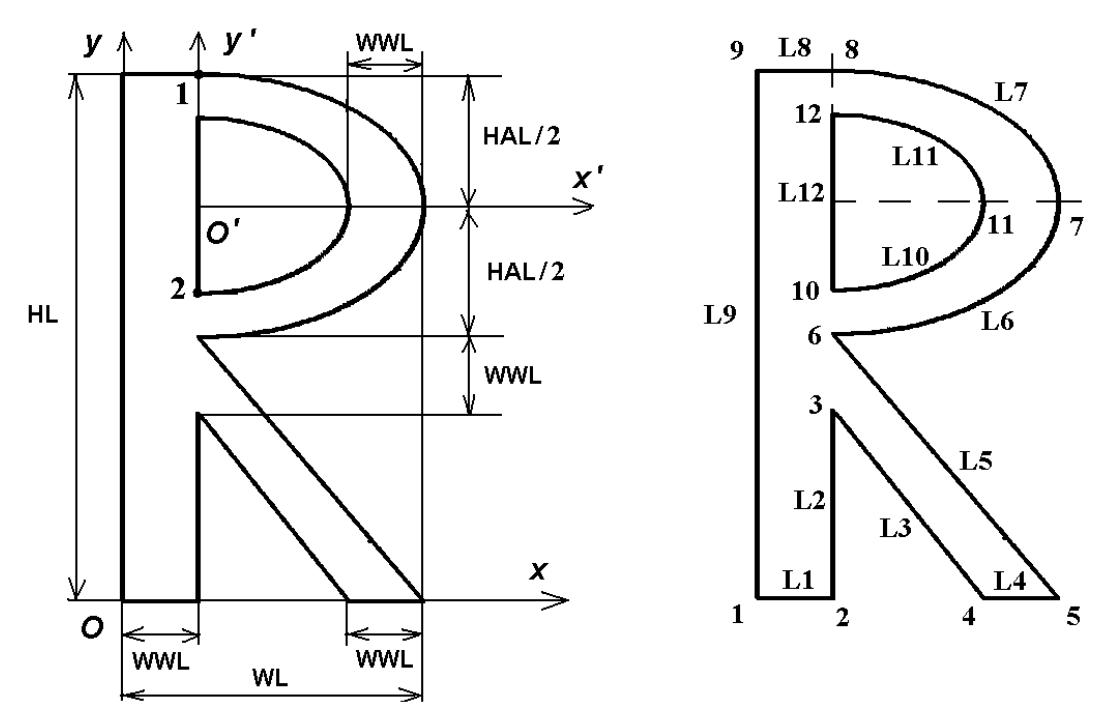


Рис. 1. Геометрия области: (а) -- обозначения; (б) -- точки и линии

В задаче требуется определить поля температур и перемещений в интервале времени $t \in [0, TES2]$, TES2 = 120 с, построить графики зависимости температуры θ и перемещений u_y от времени для двух контрольных точек $\mathbf{x}_1 = [WWL, HL]$ и $\mathbf{x}_2 = [WWL, HL-HAL/2-(WL-2*WWL)*PEL]$ (см. рис. 1, a), где точки помечены цифрами 1 и 2).

С целью исследования влияния связанности и динамических эффектов нужно также сравнить результаты для трех разновидностей задач:

- 1) нестационарной задачи термоупругости с полной связанностью;
- 2) нестационарной задачи термоупругости с частичной связанностью, когда задача для поля температуры не зависит от механических полей, т.е. совпадает с нестационарной с задачей теплопроводности;
- 3) задачи термоупругости с частичной связанностью, когда задача для поля температуры не зависит от механических полей, т.е. совпадает с нестационарной с задачей теплопроводности, а уравнения для перемещений рассматриваются в квазистатической постановке.

Теоретический сведения

Постановка нестационарной задачи термоупругости приведена в книге Наседкин А. В., Наседкина А.А. «Моделирование связанных задач» в разделе 1.4 на с. 45-54, определяющие соотношения для изотропных тел и задание их материальных свойств в Ansys приведены в разделе 3.2.1 на с. 132-134.

Для решения описанной выше задачи предлагается программа FE_Mod_CP_2.inp.

```
!
             FE Mod CP 2.inp
1
     ДВУМЕРНАЯ ЗАДАЧА
     ТЕРМОУПРУГОЕ
                                 ТЕЛО
!
     Нестационарная задача
! Инвертирование фона с черного на белый
/RGB, INDEX, 100, 100, 100, 0
/RGB, INDEX, 0, 0, 0, 15
/PREP7
  Все величины в системе Си
          ! значение времени для окончания первого шага
TES1=10
TES2=120 ! значение времени для окончания второго шага
! подшаги по времени для временных шагов
DT1=1
        ! значение для шага 1
DT2=2
          значение для шага 2
! Условия для "температурного" анализа
Т INP1=0 ! Температура на нижней границе
Т INP2=90 ! Температура на правой верхней границе (на шаге 1)
T EXT=0
         ! Температура окружающей среды для конвективных условий
H F=60
          ! Коэффициент конвективного теплообмена
! Разность температур от нуля до абсолютного нуля
TOFFST, 273
! При TOFFST=0 тепловое уравнение есть уравнение теплопроводности
! TOFFST, 0
! Материальные свойства
                         (сталь)
E1=2.1e11 ! Модуль Юнга
NU1=0.29 ! Коэффициент Пуассона
```

```
RHO1=7.8e3 ! Плотность
К1=46.7 ! Коэффициент теплопроводности
С1=462 ! Удельная теплоемкость
ALPH1=1.51e-05 ! Коэффициент температурного расширения
MP, EX, 1, E1
MP, DENS, 1, RHO1
MP, NUXY, 1, NU1
MP, KXX, 1, K1
MP, C, 1, C1
MP, ALPX, 1, ALPH1
! Команды для анализа возможности не учета
! динамических слагаемых в уравнениях движения
! KAPPA=1e-6
! MP, DENS, 1, RHO1*KAPPA
! MP,C,1,C1/KAPPA
ET, 1, PLANE 223, 11, , 2 ! четырехугольный КЭ с 8 узлами, степени сво-
боды UX, UY, ТЕМР, плоская деформация
! Геометрические размеры тела в форме буквы "R"
HL = 0.14
           ! Высота
WL = 0.08
           ! Ширина
WWL=0.02 ! Ширина стенок буквы "R"
HAL=0.07! Дополнительный размер по высоте
! Параметры для триангуляции
DMESH=WWL/4
PEL=(HAL/2)/(WL-WWL)! Параметр эллиптичности для криволинейной ча-
СТИ
LOCAL, 11, 1, WWL, HL-HAL/2, , , , , PEL ! Эллиптическая система координат с
номером 11
CSYS, 0
         ! Переход в основную декартову систему координат
! Создание геометрии фигуры
! Внешняя часть - область 1
K, 1, 0, 0
K, 2, WWL, 0
K, 3, WWL, HL-HAL-WWL
K, 4, WL-WWL, 0
K, 5, WL, 0
K, 6, WWL, HL-HAL
```

```
K, 7, WL, HL-HAL/2
K, 8, WWL, HL
K, 9, 0, HL
L,1,2 $ L,2,3 $ L,3,4 $ L,4,5 $ L,5,6
CSYS, 11
L,6,7 $ L,7,8
CSYS, 0
L,8,9 $ L,9,1
AL, 1, 2, 3, 4, 5, 6, 7, 8, 9
! Отверстие - область 2
K, 10, WWL, HL-HAL/2-(WL-2*WWL)*PEL
K, 11, WL-WWL, HL-HAL/2
K, 12, WWL, HL-HAL/2+(WL-2*WWL)*PEL
CSYS, 11
L,10,11 $ L,11,12
CSYS, 0
L, 12, 10
AL, 10, 11, 12
ASBA, 1, 2 ! Вырезать из области 1 область 2
! Установка размера конечного элемента
ESIZE, DMESH
AMESH, ALL
! Условия жесткого закрепления
NSEL, S, LOC, Y, 0! Выбор узлов внизу (по оси Y)
D, ALL, UX, 0
D, ALL, UY, 0
NSEL, ALL! Вернуться к выбору всех узлов модели
  Выбор узлов для мониторинга результатов
! Узел N1 MON - в верхней части фигуры
  Y=HL, X=WWL
NSEL, S, LOC, Y, HL, HL
NSEL, R, LOC, X, WWL
*GET, N1 MON, NODE, , NUM, MIN
! Узел N2 MON - ниже по X=WWL
NSEL, S, LOC, Y, HL-HAL/2-(WL-2*WWL) *PEL
NSEL, R, LOC, X, WWL
*GET, N2 MON, NODE, , NUM, MIN
NSEL, ALL
```

FINISH

```
! Решение связанной задачи термоупругости
/SOLU
                      ! Решение нестационарной задачи
ANTYPE, TRANS
КВС, 0! Линейный рост внешних воздействий
! Коэффициент затухания в схеме интегрирования по времени
!TINTP, 0.005 ! TINTP=0.005 - по умолчанию
TIME, TES1
            ! Время окончания шага 1
DELTIM, DT1 ! Подшаг по времени для шага 1
NSEL, S, LOC, Y, 0! Выбор узлов внизу (по оси Y)
D, ALL, TEMP, T INP1 ! Задать для всех выбранных узлов TEMP=T INP1
NSEL, S, LOC, Y, HL, HL ! Выбор узлов вверху (по оси Y)
NSEL, R, LOC, X, 0, WWL
D, ALL, TEMP, T INP2 ! Задать для всех выбранных узлов TEMP=T INP2
NSEL, ALL
OUTRES, BASIC, ALL
SOLVE
! Шаг 2
TIME, TES2
DELTIM, DT2
КВС, 1 ! Значения внешних воздействий постоянны
NSEL, S, LOC, Y, HL, HL! Выбор узлов вверху (по оси Y)
NSEL, R, LOC, X, 0, WWL
DDEL, ALL, TEMP
              ! Удаление условий TEMP=T INP2
SF, ALL, CONV, H F, T EXT! Конвективный теплообмен в выбранных узлах
NSEL, ALL
SOLVE
SAVE
FINISH
/POST26
/SHOW, WIN32C
/TRIAD, OFF
                  ! Не показывать начала координат и осей
/PLOPTS, INFO, 2 ! Использовать формат вывода Auto-legend для под-
писей
/PLOPTS, LEG2, OFF
```

```
/PLOPTS,LOGO,OFF
                   ! Логотип ANSYS не показывать в графическом виде
/PLOPTS, FRAME, OFF ! Не показывать рамку
/PLOPTS, DATE, OFF
                    ! Не показывать дату
/COLOR, CURVE, WHIT, 1, 6! Цвет графиков - белый (черный при инверта-
ции)
                    ! Цвет сетки - белый (черный при инвертации)
/COLOR, GRID, WHIT
                   ! Для кривой 1 метка 2 - квадратики, на каждом 3-
/GMARKER, 1, 2, 3
ем значении
/GMARKER, 2, 4, 3
                   ! Для кривой 2 метка 4 - крестики, на каждом 3-ем
значении
/GRID,1
                 !
                    Сетка по X и Y (полная сетка)
/XRANG, 0, TES2
/AXLAB, Y, Temperature (degree) ! Подпись к оси Y
                       ! Подпись к оси Y
/AXLAB, X, Time (sec)
NSOL, 2, N1 MON, TEMP, , TEMP1
                             ! Переменная 2 - температура в
                                                                   узле
N1 MON
NSOL, 3, N2 MON, TEMP, , TEMP2
NSOL, 4, N1 MON, U, Y, UY1 ! Переменная 4 - перемещение UY в узле N1 MON
NSOL, 5, N2 MON, U, Y, UY2
            ! Построение графиков переменных 2, 3 от времени (пере-
PLVAR, 2, 3
менной 1)
! Снять комментарии для вывода UY в контрольных узлах
! /AXLAB, Y, UY (m)
! PLVAR, 4, 5
```

В данной программе решается связанная линейная задача термоупругости в рамках предположения о плоской деформации, когда $\mathbf{u} = \{u_x(x,y,t), u_y(x,y,t), 0\},$ $\theta = \theta(x,y,t)$.

Как и в примере из первой лабораторной работы, здесь вначале строится твердотельная модель, а затем, из нее — конечно-элементная. Твердотельная модель получается методом построения геометрических объектов «снизу — вверх». Для этого сначала задаются опорные точки, потом — линии (см. рис. $1, \delta$), а затем двумерные области.

Для построения плоской модели строятся две односвязные области: первая область, ограниченная внешними линиями буквы «R», и вторая область, ограниченная внутренними линиями. Затем, с использованием булевской операции вычитания геометрических областей (команда **ASBA**) получается итоговая область

буквы «R» с отверстием. При этом криволинейные части буквы «R» строятся как части эллипсов в соответствующей эллиптической системе координат.

Конечно-элементная модель получается с использованием свободного разбиения на четырехугольные элементы PLANE223 с соответствующими опциями. Для определения густоты конечно-элементной сетки используется единственный параметр DMESH, задающий максимальный размер элементов. Структура конечно-элементной сетки при DMESH=WWL/4 показана на рис. 2 (a) – элементы, δ) – узлы).

На рис. 2 показаны также внешние воздействия на различных временных шагах. (Для показа граничных условий в интерактивном режиме следует из верхнего меню выполнить: *Plot->Elements* или *Plot->Nodes*, *PlotCtrls->Symbols-*>Отметить *All Applied BCs*. Для отображения стрелками условий конвективного теплообмена в пункте Surface Load Symbols можно задать вывод *Convect FilmCoef* и для *Show pres and convect as* выбрать *Arrows*.)

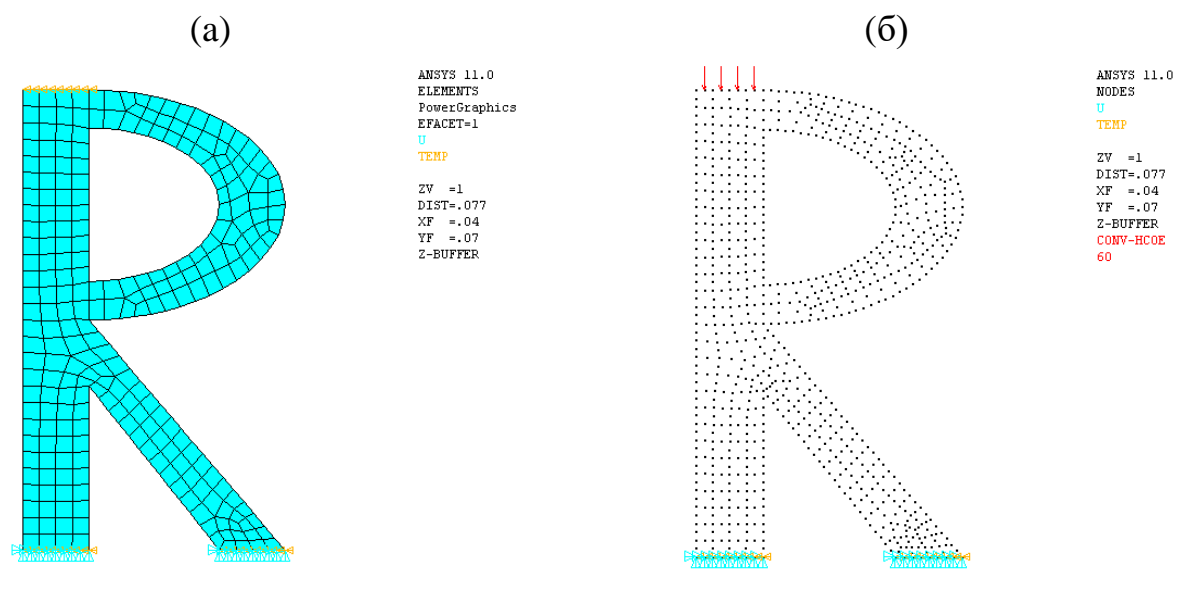


Рис. 2. Конечно-элементная модель: (a) – конечно-элементная сетка и граничные условия на первом шаге; (б) – узлы и граничные условия на втором шаге

Решение нестационарной задачи здесь разбивается на два шага по времени $t \in [0,TES1]$ и $t \in [TES1,TES2]$. На каждом временном шаге конечно-элементная система обыкновенных дифференциальных уравнений нестационарной термо-упругости интегрируется по времени с подшагом Δt_j ($\Delta t_1 = DT1 = 1$ с, $\Delta t_2 = DT2 = 2$ с) по модифицированной схеме Ньюмарка.

Отметим, что на первом и втором шагах по времени задаются различные граничные условия на верхней границе. На первом временном шаге задана темпе-

ратура (рис. 2, a) с линейным изменением по времени (**KBC,1**), а на втором шаге вместо значений температуры на верхней границе задается условие конвективного теплообмена (рис. 2, δ), обеспечивающее здесь охлаждение тела. Параметры этого краевого условия (коэффициент теплообмена и температура окружающей среды) постоянны на втором временном шаге, что определяется командой **KBC,0**.

После решения задачи в постпроцессоре POST26 программа строит графики зависимости температуры от времени в характерных точках \mathbf{x}_1 и \mathbf{x}_2 . Эти зависимости приведены на рис. 3, а), где квадратиками отмечен график для $\theta_h(\mathbf{x}_1,t)$, а крестиками - для $\theta_h(\mathbf{x}_2,t)$. После выполнения двух закоментированных команд из файла программы можно получить графики зависимости от времени перемещений $u_{yh}(\mathbf{x}_1,t)$ и $u_{yh}(\mathbf{x}_2,t)$. Эти кривые приведены на рис. 3, б), где аналогично квадратиками отмечен график для $u_{yh}(\mathbf{x}_1,t)$, а крестиками - для $u_{yh}(\mathbf{x}_2,t)$.

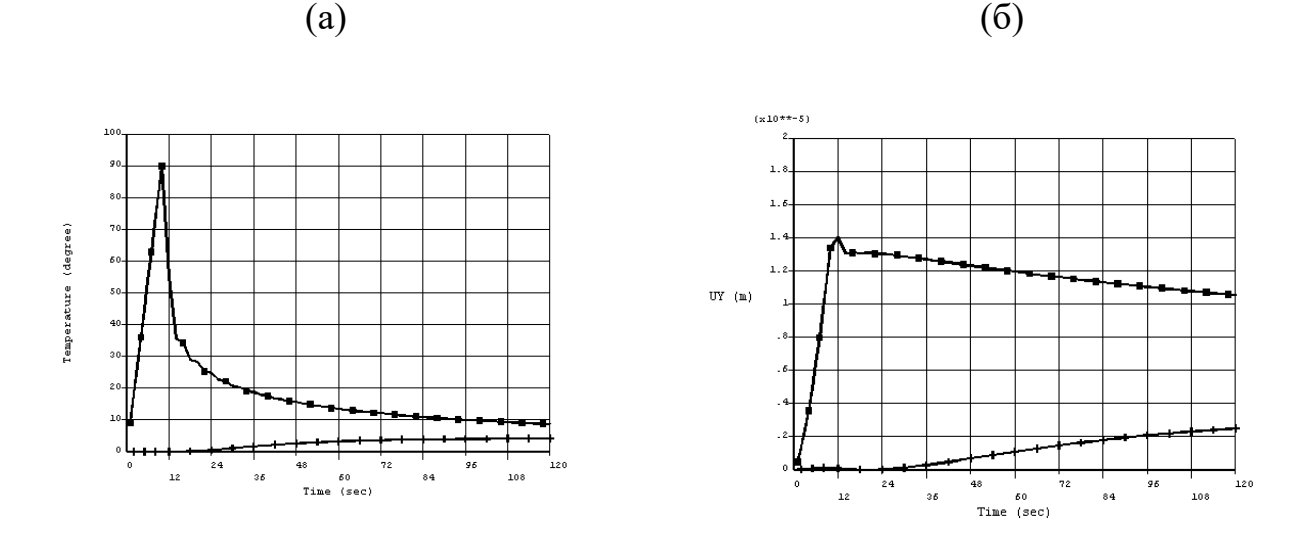


Рис. 3. Температура и перемещения в характеристических точках: (a) $-\theta_h(x_j,t)$; (б) $-\mathbf{u}_{yh}(x_j,t)$

Как видно из рис. 3, на этапе охлаждения температура на верхней границе спадает значительно быстрее, чем уменьшаются перемещения u_y . Кроме того, внутри тела температура и смещения постепенно выравниваются, причем температура и перемещения внутри тела могут на этапе охлаждения даже возрастать на некотором промежутке времени.

Далее в интерактивном режиме в основном постпроцессоре **POST1** можно посмотреть картинки распределения различных узловых величин NSOL для каждого временного подшага. Для этого нужно вначале из файла результатов считать

данные для выбранного подшага, например, следующим образом: General Post-Proc -> Read Results -> By Pick -> выбрать значение подшага по времени -> Read -> Close. Затем можно уже выводить распределения интересующих величин NSOL обычным образом. Например, General PostProc -> Plot Results -> Contour plot-> Nodal Solution -> DOF Solution -> Nodal Temperature — для поля температуры; General Postproc -> Plot Results -> Vector Plo -> Predefined -> Flux&gradient -> Thermal flux TF — для векторного показа потока тепла; и т.д.

Так, на рис. 4 приведены некоторые результаты для времени окончания первого временного шага t = TES1, т.е. в конце этапа нагрева: a) - распределение поля температуры, δ) - векторный показ поля потока тепла. Аналогичные результаты на завершающем этапе мониторинга процесса охлаждения t = TES2 показаны на рис. 5.

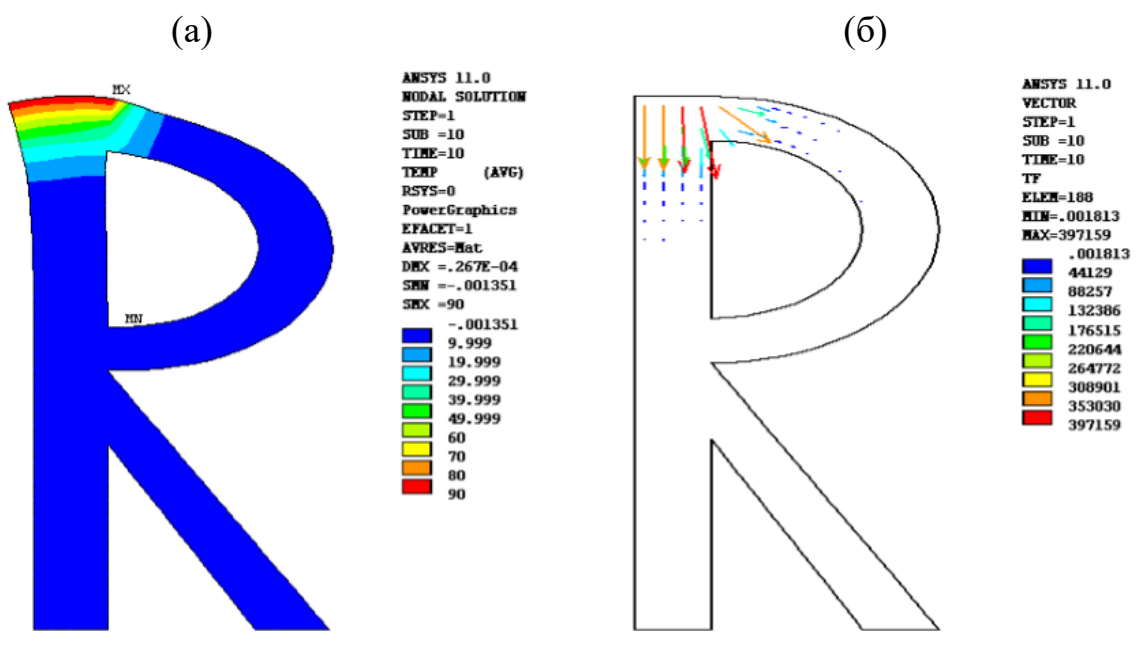


Рис. 4. Результаты в конце первого шага: (a) – температура; (б) – вектор потока тепла

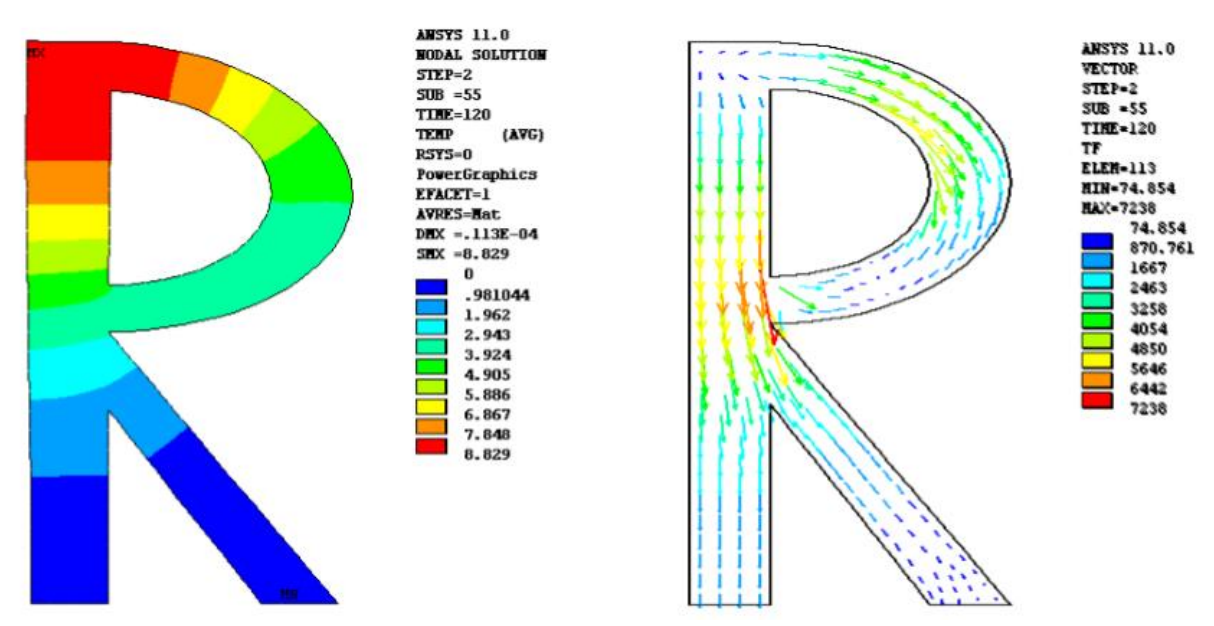


Рис. 5. Результаты в конце второго шага: (a) – температура; (б) – вектор потока тепла

Эти и другие рисунки наглядно демонстрируют распространение тепла в теле. Нужно только учитывать, что цветовая палитра на разных картинках соответствует каждый раз совершенно различным диапазонам значений.

Если в программе **FE_Mod_CP_2.inp** снять знак комментария в строке ! тоffst, 0

т.е. выполнить команду **TOFFST**, **0**, то будут проведены расчеты задачи о температурных напряжений. Если же дополнительно снять комментарии в строках

- ! KAPPA=1e-6
- ! MP, DENS, 1, RHO1*KAPPA
- ! MP,C,1,C1/KAPPA

то будет решаться задача термоупругости с частичной связанностью, когда поле температуры не зависит от механических полей, а для перемещений используется уравнение квазистатики. Расчеты показывают, что для температуры и перемещений в контрольных точках в обоих вариантах будут получены практически такие же результаты, т.е. результирующие кривые для $\theta_h(\mathbf{x}_j,t)$ и $u_{yh}(\mathbf{x}_j,t)$ визуально будут совпадать.

Наконец, отметим, что точность получаемых результатов здесь зависит от многих параметров. Максимальный размер элементов DMESH определяет погрешности дискретизации по пространственным переменным, и при использовании квадратичных по каноническим координатам конечных элементов **PLANE223** теоретическая погрешность порядка $O(DMESH^2)$. Подшаги по времени Δt_i дают оценки погрешности дискретизации по времени, аналогичные

оценкам погрешности дискретизации по пространственным переменным. Эти оценки справедливы лишь при наличии у решения ограниченных производных требуемой степени гладкости. Однако для областей с угловыми точками и со сменой типов граничных условий решения могут иметь локальные сингулярности, т.е. у них могут не существовать даже первые производные, ограниченные в области.

Кроме того на точность вычислений влияют и параметры численной схемы модифицированного метода Ньюмарка интегрирования по времени. В программе используются параметры по умолчанию, соответствующие команде **TINTP,0.005**. Но при больших осцилляциях решения можно увеличить параметр численного затухания схемы или изменить другие значения параметров в команде **TINTP**.

Результаты проведенных вычислительных экспериментов с варьированием размеров конечных элементов, подшагов по времени и параметров модифицированной схемы Ньюмарка показывают достаточную ля модельного примера точность полей температуры и перемещений при выбранных значениях.

Индивидуальные задания – тела в форме букв.

Требуется рассчитать температурные напряжения, вызываемые температурным воздействием, для двумерной конструкции в форме буквы, указанной ниже. Рассмотреть нестационарную связанную задачу термоупругости, а также ее упрощенные модели аналогично модельному примеру. В качестве входных данных взять значения, аналогичные данным из модельного примера. Геометрические размеры областей следует выбрать самостоятельно.

Используйте командный режим программы ANSYS для создания твердотельной и конечно-элементной моделей, задания граничных условий, решения задачи и просмотра заранее определенных результатов в построцессоре **POST26**. Интерактивный режим ANSYS используйте для просмотра результатов в постпроцессоре **POST1** и визуализации твердотельной и конечно-элементной моделей.

Дайте анализ сходимости при различной плотности конечно-элементной сетки, значений подшагов по времени и параметров модифицированной схемы Ньюмарка. Приведите рабочий вариант конечно-элементной сетки с граничными условиями для разных шагов по времени. Проанализируйте результаты (графики зависимостей температуры и перемещений от времени в характерных токах, распределения полей температуры в деформированном состоянии, векторный показ поля потока тепла) и оформите отчет.

Отчет должен содержать данные об исполнителе, описание задачи, а также указанные выше результаты, полученные с помощью вычислительного комплекса ANSYS.

Варианты заданий лабораторной работы № 2

Ниже приводятся номера заданий и виды области (в формах заглавных букв латинского алфавита):

$$1 - A$$
, $2 - B$, $3 - D$, $4 - E$, $5 - F$, $6 - K$, $7 - M$, $8 - N$, $9 - S$, $10 - T$, $11 - X$, $12 - Y$, $13 - Z$, $14 - W$, $15 - H$.